

ETHZ, BSC RW/CSE  
**Prüfung**  
**Numerische Mathematik für CSE/RW HS 07**  
Prof. D. Kressner

**Wichtige Hinweise**

- Entpacken Sie die Datei sources.tar im Home-Verzeichnis mit dem Befehl tar -xvf sources.tar.
- Prüfungsdauer: 180 Minuten
- Zugelassene Hilfsmittel: 6 beidseitig handgeschriebene A4 Blätter, MATLAB, Vorlesungsunterlagen unter ~/Dokumente/NCSE.pdf.
- Jede Aufgabe auf einer neuen Seite beginnen und jedes Blatt mit **Namen**, **Aufgabennummer** und **Rechnername** deutlich beschriften.
- Jede MATLAB-Programmdatei in der ersten Zeile mit einem Kommentar versehen, der Name und (Teil)Aufgabennummer enthält.
- Verwenden Sie die vorbereiteten MATLAB-Files/Gerüste in den Verzeichnissen ~/Aufgabe1, ... ~/Aufgabe6. Lösungen nur hier ablegen und keine weiteren Unterverzeichnisse anlegen!
- Ausdrucken der MATLAB-Programme am Prüfungsende mit dem Skript ./print\_ncse\_files.bsh. Das Skript sammelt alle \*.m-Files und \*.eps-Files ein und schickt diese an den Drucker.
- Nicht durch Hardwareversagen entstandener Dateiverlust ist vom Prüfungskandidaten zu verantworten.

---

1. (6 Punkte) **Zusammengesetzte Weddle-Regel**

Das Integral

$$I = \int_0^2 (1 - \sqrt{x} \cos x) dx \quad (1)$$

soll mit der auf der Weddle-Regel basierenden zusammengesetzten Quadraturregel bestimmt werden. Die Weddle-Regel

$$\int_0^h f(x) dx = \frac{h}{840} \left( 41f(0) + 216f\left(\frac{1}{6}h\right) + 27f\left(\frac{2}{6}h\right) + 272f\left(\frac{3}{6}h\right) + 27f\left(\frac{4}{6}h\right) + 216f\left(\frac{5}{6}h\right) + 41f(h) \right)$$

verwendet auf jedem Teilintervall 7 Stützstellen.

- a) Implementieren Sie eine MATLAB-Routine

```
function [Q]=weddle_quad(n,f),
```

die (ohne for-Schleife) auf  $n$  Teilintervallen von  $[0, 2]$  der Länge  $h = \frac{2}{n}$  die Weddle-Quadratur einer Funktion  $f(x)$  berechnet und die Resultate summiert.

- b) Implementieren Sie eine MATLAB-Routine

```
function visualize_weddle_error(),
```

die mit der MATLAB-Funktion `quad` eine Referenzlösung für  $I$  (siehe (1)) berechnet und den Fehler der zusammengesetzten Weddle-Regel für das gegebene Beispiel in Abhängigkeit von  $h = \frac{2}{n}$  in geeignetem Massstab darstellt. Wählen Sie  $n = 10^i$ ,  $i = 1, 2, \dots, 5$  und speichern Sie das Ergebnis unter `weddle_rate.eps` ab.

- c) Bestimmen Sie numerisch die Konvergenzordnung des zusammengesetzten Verfahrens zur Berechnung von  $I$  wie in (1). Benutzen Sie dazu die MATLAB-Funktion aus Teilaufgabe b).

## 2. (8 Punkte) Runge-Kutta-Schema

Zur Approximation einer gewöhnlichen Differentialgleichung der Form

$$y' = f(t, y), \quad y(t_0) = y_0$$

soll das durch den reellen Wert  $c \neq 0$  parametrisierte Runge-Kutta-Verfahren

$$y_{n+1} = y_n + h \left( (1-c)f(t_n, y_n) + cf\left(t_n + \frac{h}{2c}, y_n + \frac{h}{2c}f(t_n, y_n)\right) \right)$$

verwendet werden.

- a) Wieviele Stufen hat das Verfahren und wie sieht die entsprechende Butcher-Tabelle aus? Ist es ein explizites oder implizites Verfahren?  
 b) Schreiben Sie eine MATLAB-Funktion

```
function [t,y]=runge_kutta(t0,y0,T,N,c,f),
```

die  $y(t)$  in  $N$ -Schritten approximiert.  $y_0$  ist der Anfangswert  $y(t_0)$  zu  $t_0$ .  $T$  ist Stoppzeit,  $N$  die Anzahl der Schritte,  $c$  die Verfahrenskonstante und  $f$  der Zeiger auf  $f(t, y)$ . Die Rückgabewerte  $t = [t_0, \dots, t_N]$  und  $y = [y_0, \dots, y_N]$  sind Vektoren mit diskreten Zeitpunkten und den approximierten Funktionswerten  $y_i \approx y(t_i)$ .

- c) Sei nun

$$f(t, y) = -4y, \quad t_0 = 0, \quad y_0 = 10, \quad T = 10. \quad (2)$$

Wie lautet die exakte Lösung  $y$ ? Bestimmen Sie für  $N = 10, 11, \dots, 30$  die approximierten Funktionswerte  $y_N \approx y(10)$  am Intervallende und stellen Sie die Abhängigkeit des Fehlers  $|y(10) - y_N|$  von  $N$  bei festem  $c = 1/2$  graphisch dar. Beschriften Sie die Achsen und speichern Sie das Ergebnis unter dem Namen `runge_kutta_stab.1.eps` (benutzen Sie `plot_runge_kutta_c()`). Ist das Stabilitätsgebiet beschränkt?

- d) Stellen Sie nun für das Problem (2) aus Aufgabenteil c) die Abhängigkeit der Fehler  $|y(10) - y_{30}|$  und  $|y(10) - y_{10}|$  vom Verfahrensparameter  $c$  im Intervall  $c \in [0.1, 1]$  dar (benutzen Sie `plot_runge_kutta_d()`). Beschriften Sie die Achsen und speichern Sie die Ergebnisse unter den Namen `runge_kutta_stab.2.eps` und `runge_kutta_stab.3.eps`. Was beobachten Sie?  
 e) Wie lautet das Stabilitätsgebiet  $S$  des Verfahrens? Welches ist der kleinste Wert  $\mu_0 \in \mathbb{R}$ , so dass das Intervall  $[\mu_0, 0]$  im Stabilitätsgebiet liegt? Hinweis: Bestimmen Sie den Schnittpunkt der negativen reellen Achse mit dem Rand von  $S$ .

### 3. (8 Punkte) Periodische Spline-Interpolation

Zu einer  $T$ -periodischen Funktion  $f : \mathbb{R} \rightarrow \mathbb{R}$  seien  $n + 1$  Funktionswerte im Intervall  $[0, T]$  gegeben:

$$t_j = jh, \quad y_j = f(t_j), \quad j = 0, \dots, n$$

wobei  $h = T/n$ . Hierbei gilt wegen der Periodizität  $y_0 = y_n$ . Der interpolierende *periodische kubische Spline*  $s$  hat die Darstellung

$$s_{[t_{j-1}, t_j]}(t) = y_{j-1}(1 - 3\tau^2 + 2\tau^3) + y_j(3\tau^2 - 2\tau^3) + hc_{j-1}(\tau - 2\tau^2 + \tau^3) + hc_j(-\tau^2 + \tau^3), \quad (3)$$

auf dem Intervall  $[t_{j-1}, t_j]$  mit  $\tau = (t - t_{j-1})/h$  und zu bestimmenden Koeffizienten  $c_0, c_1, \dots, c_n$ .

- (a) Erstellen Sie eine MATLAB-Funktion `pspline_coeff`, die für gegebene  $y_0, \dots, y_{n-1}$  und  $T$  die Koeffizienten  $c_0, \dots, c_{n-1}$  bestimmt.

Das entsprechende  $n \times n$  Gleichungssystem

$$\begin{pmatrix} 4 & 1 & 0 & \dots & 0 & 1 \\ 1 & 4 & 1 & & & 0 \\ 0 & 1 & \ddots & \ddots & & \vdots \\ \vdots & & \ddots & \ddots & \ddots & 0 \\ 0 & & & \ddots & \ddots & 1 \\ 1 & 0 & \dots & 0 & 1 & 4 \end{pmatrix} \begin{pmatrix} c_0 \\ c_1 \\ \vdots \\ c_{n-2} \\ c_{n-1} \end{pmatrix} = \frac{3}{h} \begin{pmatrix} y_1 - y_{n-1} \\ y_2 - y_0 \\ \vdots \\ y_{n-1} - y_{n-3} \\ y_0 - y_{n-2} \end{pmatrix}$$

soll mittels Sherman-Morrison-Woodbury-Formel in  $O(n)$  Rechenaufwand gelöst werden. Dabei können Sie zur Lösung von *tridiagonalen* Gleichungssystemen auf den MATLAB-Operator `\` für schwachbesetzte Matrizen zurückgreifen.

Wie ist  $c_n$  zu wählen?

- (b) Erstellen Sie eine MATLAB-Funktion `pspline_eval`, die für gegebenes  $T, y$ , und  $c$ , den Spline  $s$  an  $k$  Punkten  $\tilde{t}_1, \dots, \tilde{t}_k \in [0, T]$  auswertet.
- (c) Für eine genügend glatte  $T$ -periodische Funktion  $f : \mathbb{R} \rightarrow \mathbb{R}$  ist der maximale Fehler  $|s - f|$  nahezu proportional zu  $h^p$  für genügend kleine  $h$ . Bestimmen Sie  $p$  experimentell jeweils für

$$f(t) = \sin(t), \quad T = 2\pi,$$

(benutzen Sie `pspline_sin()`) sowie für

$$f(t) = |1/2 - t| \text{ für } t \in [0, 1], \quad T = 1$$

(benutzen Sie `pspline_hat()`). Begründen Sie die unterschiedlichen Werte für  $p$ .

### 4. (6 Punkte) Steifes Anfangswertproblem

Gegeben sei das Anfangswertproblem

$$y''(t) = -201y'(t) - 200y(t) + 2, \quad 0 \leq t \leq 20, \quad y(0) = 0.99, \quad y'(0) = 1. \quad (4)$$

- a) Schreiben Sie (4) in ein lineares Differentialgleichungssystem erster Ordnung um:

$$\mathbf{y}'(t) = \mathbf{A}\mathbf{y}(t), \quad \mathbf{y}(0) = \mathbf{y}_0. \quad (5)$$

- b) Berechnen Sie die Eigenwerte der Matrix  $A$ . Sie dürfen dazu den MATLAB-Befehl `eig` verwenden.
- c) Lösen Sie das Anfangswertproblem (5) mit den MATLAB-Integratoren `ode45` und `ode23s` auf dem Zeitintervall  $[0, 20]$  und stellen Sie die Lösungen graphisch dar. Beschriften Sie die Achsen und speichern Sie die Ergebnisse unter `AWP_45.eps` und `AWP_23s.eps` (benutzen Sie `AWP()`). Beide Integratoren bestimmen adaptiv die Schrittweite. Wieviele Schritte benötigt jeder Integrator für dieses Problem? Warum verwendet der eine Integrator so viel mehr Schritte als der andere? (*Hinweis: Benutze b) und die Hilfe von MATLAB*)

### 5. (6 Punkte) Fixpunktiteration

Das lineare Gleichungssystem

$$Ax = b$$

mit  $A \in \mathbb{R}^{n \times n}$  und  $b \in \mathbb{R}^n$ , soll mit der folgenden Fixpunktiteration gelöst werden:

$$x^{k+1} = (D - \omega L)^{-1}((1 - \omega)D + \omega R)x^k + (D - \omega L)^{-1}\omega b$$

Dabei ist  $A = D - L - R$  die additive Zerlegung der Matrix  $A$  in eine Diagonalmatrix  $D = \text{diag}(A)$ , die strikte untere Dreiecksmatrix  $-L$  sowie die strikte obere Dreiecksmatrix  $-R$ .

- a) Zeigen Sie, dass der Fehler  $e^k := x^k - x$  im  $k$ -ten Schritt durch

$$e^{k+1} = B_\omega e^k$$

mit

$$B_\omega = (D - \omega L)^{-1}((1 - \omega)D + \omega R)$$

gegeben ist.

- b) Das Iterationsverfahren konvergiert genau dann wenn der Spektralradius  $\rho(B_\omega)$  der Matrix  $B_\omega$  kleiner als 1 ist. Schreiben Sie eine MATLAB-Routine,

```
function power_iter(M, tol)
```

die den Spektralradius einer Matrix  $M$  mit der Potenzmethode bestimmt.

- c) Seien nun  $A \in \mathbb{R}^{n \times n}$ ,  $n = 100$  mit

$$a_{ij} = \begin{cases} 4 & i = j \\ 1 & i = j - 1 \\ 1 & j = i - 1 \\ 0 & \text{sonst.} \end{cases}$$

Schreiben Sie eine MATLAB-Routine

```
function visualize_spec_radius(),
```

die für  $\omega = [0.01, 0.02 \dots 1.99]$  den Spektralradius  $\rho(B_\omega)$  einmal mit der Funktion aus b) und einmal mit der MATLAB-Funktion `eig` bestimmt und  $\rho(B_\omega)$  als Funktion von  $\omega$  graphisch darstellt. Beschriften Sie die Achsen und speichern Sie das Ergebnis unter `spec_radius.eps`. Schätzen Sie den optimalen Wert für den Parameter  $\omega$ . Worauf sind die Unterschiede zwischen `eig` und der Potenzmethode zurückzuführen.

6. (6 Punkte) Nichtlineares Ausgleichsproblem

Sei  $f(t) := Ce^{\lambda t} \cos 2\pi t$ . Um die unbekannt Parameter  $\lambda$  und  $C$  zu bestimmen stehen die folgenden Messwerte  $b_i \approx f(t_i)$  zur Verfügung:

$t_i$	0.1	0.2	0.3	0.05	0.35	0.25
$b_i$	0.395	0.134	-0.119	0.6	-0.2	0

Formulieren Sie die Aufgabe, die Parameter  $\lambda$  und  $C$  zu ermitteln, als nichtlineares Ausgleichsproblem. Ergänzen Sie die MATLAB-Routine `fit()` um einen geeigneten Löser

```
function [l, c]=solver([t_1,... t_n],[b_1,... b_n],l,c,tol),
```

der aus gegebenen Daten  $t_1, \dots, t_n$  und  $b_1, \dots, b_n$  die Parameter  $\lambda$  und  $C$  mit Gauss-Newton berechnet und bestimmen Sie die Parameterwerte zu den Daten aus der Tabelle.

Viel Erfolg!



## Musterlösung

1. a) Implementierung von summierter Weddle-Regel:

```
function [Q]=weddle_quad(n,f)
% Mein Name, Aufgabe 1
% n number of subintervals
% f function handle
a=0;           % left boundary
b=2;           % right boundary
h=(b-a)/(6*n); % mesh width
y=f(a:h:b);   % data
               % quadrature
Q=(41*y(1)+41*y(end)+...
  216*sum(y(2:6:end-5))+27*sum(y(3:6:end-4))+...
  272*sum(y(4:6:end-3))+27*sum(y(5:6:end-2))+...
  216*sum(y(6:6:end-1))+82*sum(y(7:6:end-6)))*h/140;
end
```

- b) Konvergenzrate (Abb. 1):

```
function visualize_weddle_error()
% Mein Name, Aufgabe 1
f=@(x) 1-sqrt(x).*cos(x); % function
Q_ex=quad(f,0,2,1e-12);   % almost exact value
Q_w=zeros(5,1);          % Quadrature
h=zeros(5,1);            % meshwidth
n=10.^[1:5];             % number gridpoints
for i=1:5                 % iteration
    h(i)=(2)/n(i);
    Q_w(i)=weddle_quad(n(i),f);
end
loglog(h,abs(Q_w-Q_ex)); % loglog plot
xlabel('h'); ylabel('error');
print -depsc weddle_rate.eps
% slope
a=diff(log(abs(Q_w-Q_ex)))./diff(log(h))
```

- c) Die Ordnung ist ungefähr 1.6, wegen der beschränkten Glattheit des Integranden.
2. a) Das Verfahren ist ein explizites zweistufiges Runge-Kutta-Verfahren mit dem folgenden Butcher-Schema:

$$\begin{array}{c|cc} 0 & 0 & 0 \\ \frac{1}{2c} & \frac{1}{2c} & 0 \\ \hline & 1-c & c \end{array}$$

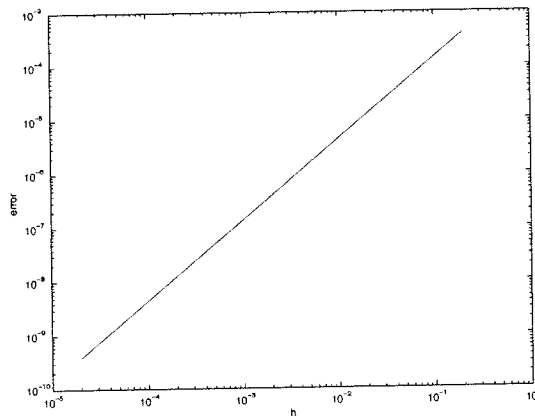


Figure 1: Konvergenzrate für summierte Weddel-Regel

b) MATLAB-Routine für Runge-Kutta aus a):

```
function [t,y]=runge_kutta(t0,y0,T,N,c,f)
% Mein Name, Aufgabe 2 ✓
% t0 initial time
% y0 initial value
% T stop time
% N Number of gridpoints
% c Runge-Kutta-Parameter
% F pointer to function
%
% t array of time steps
% y array of values

t=zeros(N+1,1);      %allocate memory
y=zeros(N+1,1);
h = (T-t0)/N;       %step size
t(1) = t0;          %initial time
y(1) = y0;          %initial value
a=t(1);
for i = 1:N         %iteration
    k1 = h*(1-c)*f(t(i), y(i));
    k2 = h*c*f(t(i)+h/(2*c), y(i)+f(t(i), y(i))*h/(2*c));
    y(i+1) = y(i) + (k1+k2);
    t(i+1) = a + i*h;
end
t(end)
```

c) Der Graph in Abbildung 2 zeigt, dass die Lösung erst bei  $N > 20$

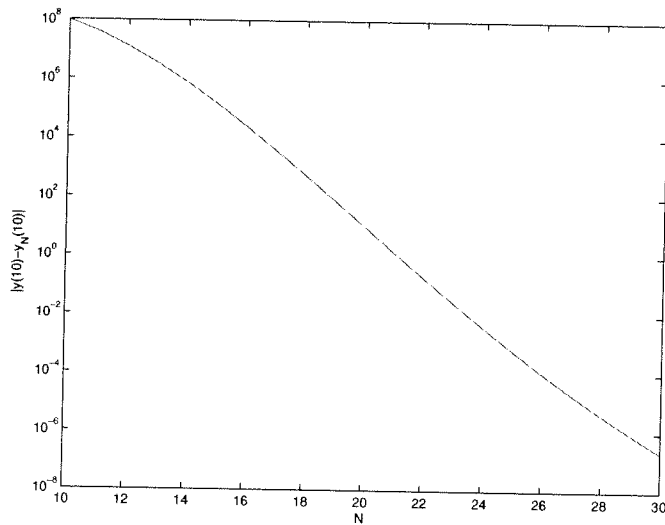


Figure 2: Abbildung zu Runge-Kutta c)

stabil ist. Die entspricht einer Gitterweite  $h < 0.2$ . ✓

- d) Die Graphen in Abbildung 3 zeigen, dass der Stabilitätsbereich unabhängig von dem Parameter  $c$  ist. ✓
- e) Wir wenden das Verfahren auf das Modellproblem  $\dot{y} = \lambda y$  mit  $\lambda \in \mathbb{C}$  an und erhalten so

$$y_{n+1} = \left(1 + h\lambda + \frac{1}{2}h^2\lambda^2\right)y_n = \left(1 + \mu + \frac{\mu^2}{2}\right)^{n+1} y_0$$

für  $\mu = h\lambda$ . Folglich ist der Verstärkungsfaktor  $V(\mu) = 1 + \mu + \frac{\mu^2}{2}$  und das Stabilitätsgebiet ist  $S = \{\mu \in \mathbb{C} : |1 + \mu + \frac{\mu^2}{2}| < 1\}$ . Insbesondere gilt  $\partial S \cap \mathbb{R} = \{-2, 0\}$  und damit  $(-2, 0) \subset S$ .

3. a) MATLAB-Routine zur Bestimmung der Koeffizienten:

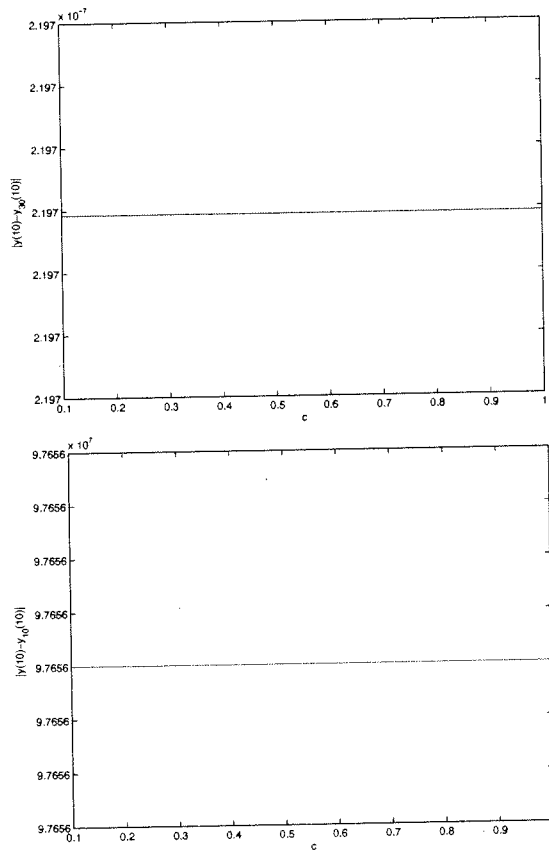


Figure 3: Abbildung zu Runge-Kutta d)

```

function c = pspline_coeff(T,y) ✓
% Mein Name, Aufgabe 3
% T periodicity
% y data
n = length(y);

h = T/n;
e = ones(n,1);
A = spdiags([e 4*e e], -1:1, n, n);

e1 = eye(n,1);
U = [e1,e1(end:-1:1)];
V = [e1(end:-1:1),e1]';

c = 3/h * ( A \ ( y([2:end,1]) - y([end,1:end-1]) ) );

c = c - A \ ( U * ( ( eye(2) + V* ( A \ U ) ) \ V ) * c );
%A(1,n) = 1;
%A(n,1) = 1;

```

b) MATLAB-Routine zur Auswertung:

```

function s = pspline_eval(T,y,c,tt)
% Mein Name, Aufgabe 3
% T periodicity
% y data
% c coefficients
% tt evaluation points
n = length(c);
h = T/n;
c = [c;c(1)];
y = [y;y(1)];

% for-Schleife koennte vermieden werden, ...
% waere aber zu unuebersichtlich
s = zeros(1,length(tt));
for k = 1:length(tt),
    j = min(n,floor(tt(k)/h) + 1);
    tjm1 = (j-1)*h;

    tau = ( tt(k) - tjm1 ) / h;
    s(k) = y(j) * (1-3*tau^2 + 2*tau^3) + ...
           y(j+1) * (3*tau^2 - 2*tau^3) + ...
           h*c(j)*(tau-2*tau^2+tau^3)+...
           h*c(j+1)*(-tau^2+tau^3);
end

```

c) Für  $f(t) = \sin(t)$  ist  $p = 4$  und für  $f(t) = |1/2 - t|$  ist  $p = 1$ .

```
function pspline_sin()
% mein Name, Aufgabe 3 ✓
nind = 2:2:100;
err = [];
h=[];
for n = nind,
    y = sin(0:2*pi/n:2*pi);
    h=[h;pi/n];
    c = pspline_coeff(2*pi,y(1:end-1)');
    tt = 0:2*pi/1000:2*pi;

    err = [err; ...
           max(abs(sin(tt)-...
                 pspline_eval(2*pi,y(1:end-1)',c,tt))) ];
end

loglog(nind,err),
%diff(log(err))./diff(log(h))
p=polyfit(log(h),log(err),1);
p(1)
err(25) / err(50)
```

```

function pspline_hat(
% mein Name , Aufgabe 3
nind = 2:2:100;
err = [];
h=[];
for n = nind,
    x = 0:1/n:1;
    h=[h;1/n];
    y = abs(x-0.5);

    c = pspline_coef(1,y(1:end-1)');
    tt = 0:1/1000:1;

    err = [err; ...
           max(abs(abs(tt-0.5)-...
                 pspline_eval(1,y(1:end-1)',c,tt))) ];
end

plot(pspline_eval(1,y(1:end-1)',c,tt)),

loglog(nind,err),
diff(log(err))./diff(log(h))
p=polyfit(log(h),log(err),1);
p(1)
err(25) / err(50),

```

4. a) Mit  $y_1(t) = y(t)$ ,  $y_2(t) = y'(t)$  gilt

$$\begin{aligned}
 y_1'(t) &= y_2(t), & y_1(0) &= 0.99 \\
 y_2'(t) &= -201y_2(t) - 200y_1(t) + 2, & y_2(0) &= 1.
 \end{aligned}$$

- b) Die Jacobimatrix lautet

$$D\mathbf{f}(\mathbf{y}) = \begin{pmatrix} 0 & 1 \\ -200 & -201 \end{pmatrix}$$

mit charakteristischem Polynom

$$\begin{aligned}
 \lambda^2 + 201\lambda + 200 &= 0 \\
 \Rightarrow \lambda_{1,2} &= -100.5 \pm \frac{\sqrt{40401 - 800}}{2} \\
 \Rightarrow \lambda_1 &= -1 \quad \lambda_2 = -200
 \end{aligned}$$

- c) Lösungen der beiden Integratoren (Abb. 4): ode45 benötigt 4875 Schritte, ode23s dagegen nur 68.

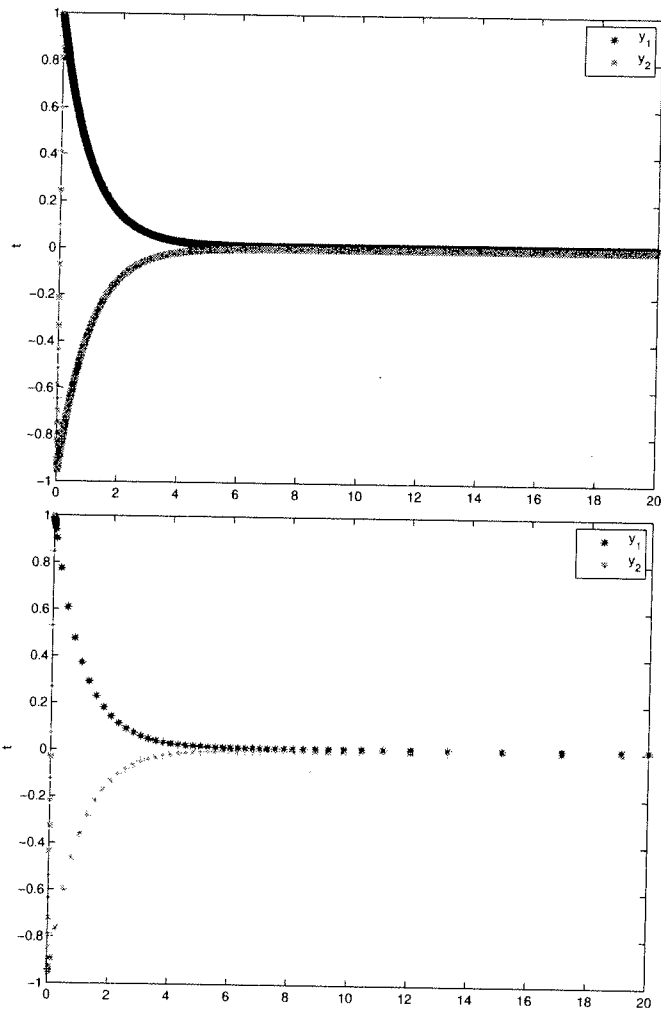


Figure 4: Abbildung zu Anfangswertproblem oben ode45

```

function AWP()
% Mein Name, Aufgabe 4
f=@(t,y)[y(2); -200*y(1)-201*y(2)+2]; %function

[t,y]=ode45(f,[0 20],[0.99 1]);      %
steps45=size(t,1)
figure;
plot(t,y(:,1),'b*',t,y(:,2),'g*');
legend('y_1','y_2');
ylabel('t');
print -depsc AWP_45.eps

[t,y]=ode23s(f,[0 20],[0.99 1]);
steps23=size(t,1)
figure;
plot(t,y(:,1),'b*',t,y(:,2),'g*');
legend('y_1','y_2');
ylabel('t');
print -depsc AWP_23s.eps
function[f_]=f(t,y)
f_=[y(2);-200*y(1)-201*y(2)+2];

```

Wir haben hier ein steifes Anfangswertproblem und ode23s ist ein Integrator für steife Probleme.

5. a) Wir benutzen, das  $x$  Fixpunkt ist.

$$\begin{aligned}
 e^{k+1} &= x^{k+1} - x \\
 &= B_{\omega} x^k + (D - \omega L)^{-1} \omega b - x \\
 &= B_{\omega} x^k + (D - \omega L)^{-1} \omega b - B_{\omega} x - (D - \omega L)^{-1} \omega b \\
 &= B_{\omega} e^k
 \end{aligned}$$

- b) Potenzmethode:

```

function e=power_iter(A,tol)
% Mein Name, Aufgabe 5
% A Matrix
% tol exit criterium
% e largest eigenvalue
n=size(A,1);
max=1000; k=1;
v_old=zeros(n,1);
v_new=v_old;
v_new(1)=1;
e=0;
while ((k<=max) && (norm(v_old-v_new)>tol))
    k=k+1;
    v_old=v_new;
    v_new=A*v_new;
    e=norm(v_new');
    if (norm(v_new)~=0)
        v_new=v_new/norm(v_new);
    end
end
end

```

- c) Für  $\omega \rightarrow 2$  und  $\omega \rightarrow 0$   $\rho$  geht gegen 1 (Abb. 5), d.h. langsame Konvergenz:

```

function visualize_spec_radius()
% Mein Name , Aufgabe 5
%
omega=[0.01:0.01:1.99];
%omega=1;
s=size(omega,2);
e=zeros(1,s);
e2=zeros(1,s);
tol=10^-15;
n=100;
for i=1:s
    d=[ones(n,1) 4*ones(n,1) ones(n,1)];
    L=-diag(ones(n-1,1),-1);
    D=4*diag(ones(n,1),0);
    R=-diag(ones(n-1,1),1);
    B=(D-omega(i)*L)\((1-omega(i))*D+omega(i)*R);
    e(i)=power_iter(B,tol);
    e2(i)=max(abs(eig(B)));
end
figure;
plot(omega,e,'b-',omega,e2,'r--');
xlabel('\omega');
ylabel('\rho(B_{\omega})');
legend('power iteration','matlab eig')
print -depsc sor_radius.eps

```

- c) Für  $\omega \rightarrow 1$  ist der Spektralradius klein, d.h. wir erwarten schnelle Konvergenz. Die Potenzmethode funktioniert nur dann gut, wenn der grösste Eigenwert die Vielfachheit 1 hat und alle anderen Eigenwerte deutlich kleiner sind.

6. Das nichtlineare Ausgleichsproblem lautet

$$\min_{C,\lambda} \sum_{i=1}^6 (f(t_i) - b_i)^2 \quad (1)$$

Die Routine `solver(t,b,l,c,tol)` ist der Gauss-Newton-Algorithmus und verwendet den MATLAB \ als Löser für die linearen Ausgleichprobleme die als Teilproblem auftreten. Er liefert  $\lambda = -1.1866$  und  $C = 0.5498$ .

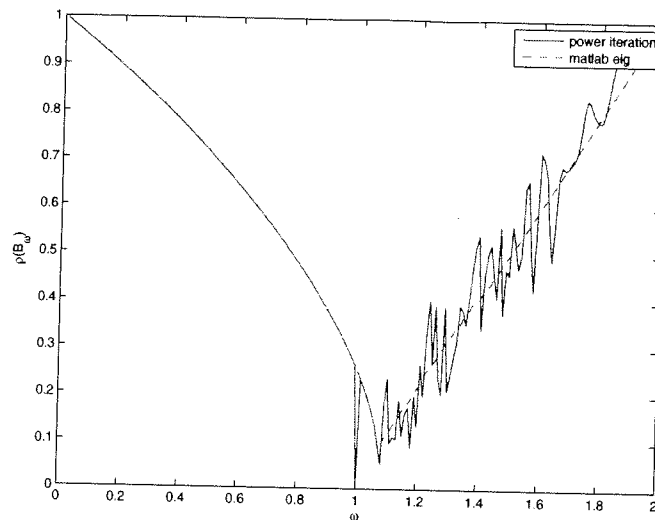


Figure 5: Abbildung zu Anfangswertproblem oben ode45

```

function fit()
% mein name, Aufgabe 6

t=[0.1 0.2 0.3 0.05 0.35 0.25]; % data
b=[0.395 0.134 -0.119 0.6 -0.2 0]; % data
l=1; c=0; % initial guesses
tol=10^-10; % tolerance

[l,c]=solver(t',b',l,c,tol) % solver

x=[0:0.01:0.4]; % plot result
y=c*exp(l*x).*cos(2*pi*x);
plot(x,y);
hold on;
plot(t,b,'r*'); %plot data
xlabel('t');
ylabel('f(t)');
legend('fit','data');
hold off;
print -depsc fit.eps

function [L,C] = solver(t,b,l,c,tol)
% t data
% f data
% l parameter lambda, initial guess
% c parameter C, initial guess
% tol exit criterium
%
% [L,C] solution for lambda and C
f=@(l,c)c*exp(l*t).*cos(2*pi*t)-b;
J=@(l,c)[c*exp(l*t).*cos(2*pi*t).*t exp(l*t).*cos(2*pi*t)];
s = J(l,c)\f(l,c); %linear least squares solved by \
l=l-s(1);
c=c-s(2);
while (norm(s) > tol)
s = J(l,c)\f(l,c);
s
l= l-s(1);

```

